

シミュレーションを用いた バイスペクトルのコバリアンス測定

高橋龍一(弘前大)

with 樽家篤史(京大)

研究目的

多数(数千以上)のN体計算を実行し、matter & halo bispectrum の covariance を求める

摂動論(by 樽家さん)と比較して covariance のモデル化

3次元の銀河分光サーベイを想定

real & redshift spaces 両方

super-sample covariance も考慮

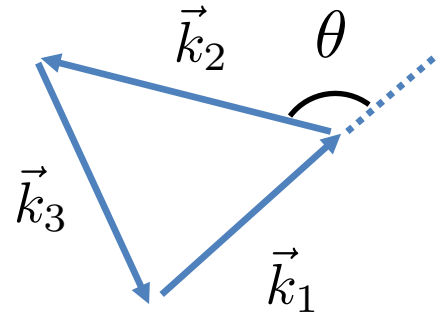
bispectrum estimator

$$\hat{B}(k_1, k_2, \theta) = \frac{1}{N_{\text{mode}}} \sum_{\vec{k}_1} \sum_{\vec{k}_2} \sum_{\vec{k}_3} \delta_{\vec{k}_1 + \vec{k}_2 + \vec{k}_3}^{\text{Krone}} \tilde{\delta}(\vec{k}_1) \tilde{\delta}(\vec{k}_2) \tilde{\delta}(\vec{k}_3)$$

Kronecker delta

mean

$$B(k_1, k_2, \theta) = \langle \hat{B}(k_1, k_2, \theta) \rangle$$



θ : angle between \vec{k}_1 and \vec{k}_2

covariance

$$\text{Cov}_B(k_1, k_2, \theta, k'_1, k'_2, \theta')$$

$$= \langle \left(\hat{B}(k_1, k_2, \theta) - B(k_1, k_2, \theta) \right) \left(\hat{B}(k'_1, k'_2, \theta') - B(k'_1, k'_2, \theta') \right) \rangle$$

Previous work 1: Chan & Blot (2017)

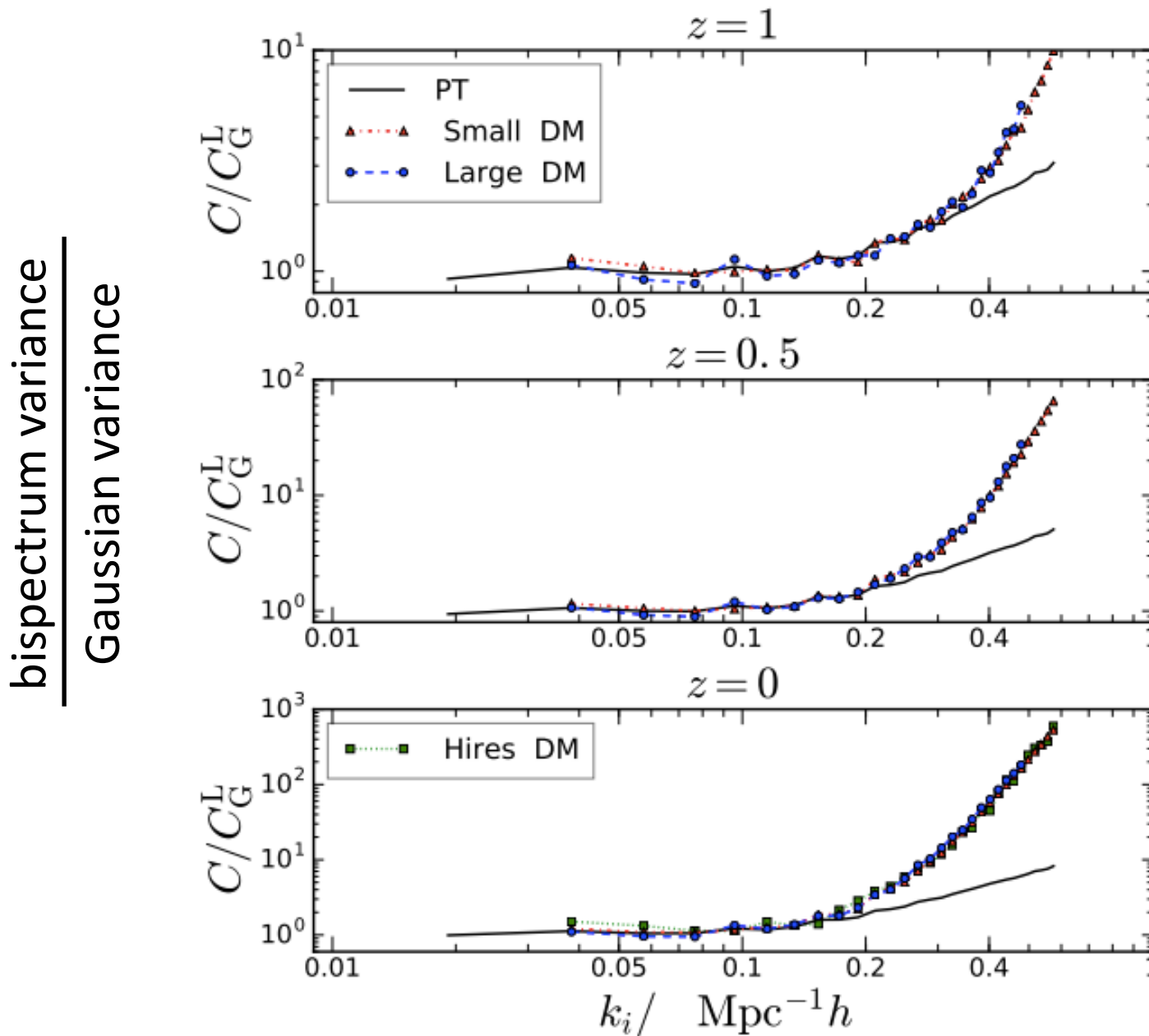
power spectrum & bispectrum covariance
for matter & halo fields in real space only
a lot of (~ 4000) N-body simulations
comparison with perturbation theory (tree level)

their simulation setting

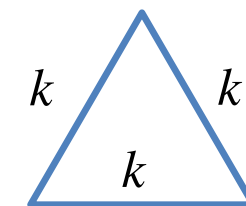
TABLE I: Details of the simulations.

Box label	Box size (Mpc h^{-1})	Number of particles	Redshift snapshots	Number of realizations
Large	1312.5	512^3	1, 0.5, 0	512
Small	656.25	256^3	1, 0.5, 0	4096
Hires	656.25	1024^3	1, 0.5, 0	96

Comparison of simulation results with perturbation theory



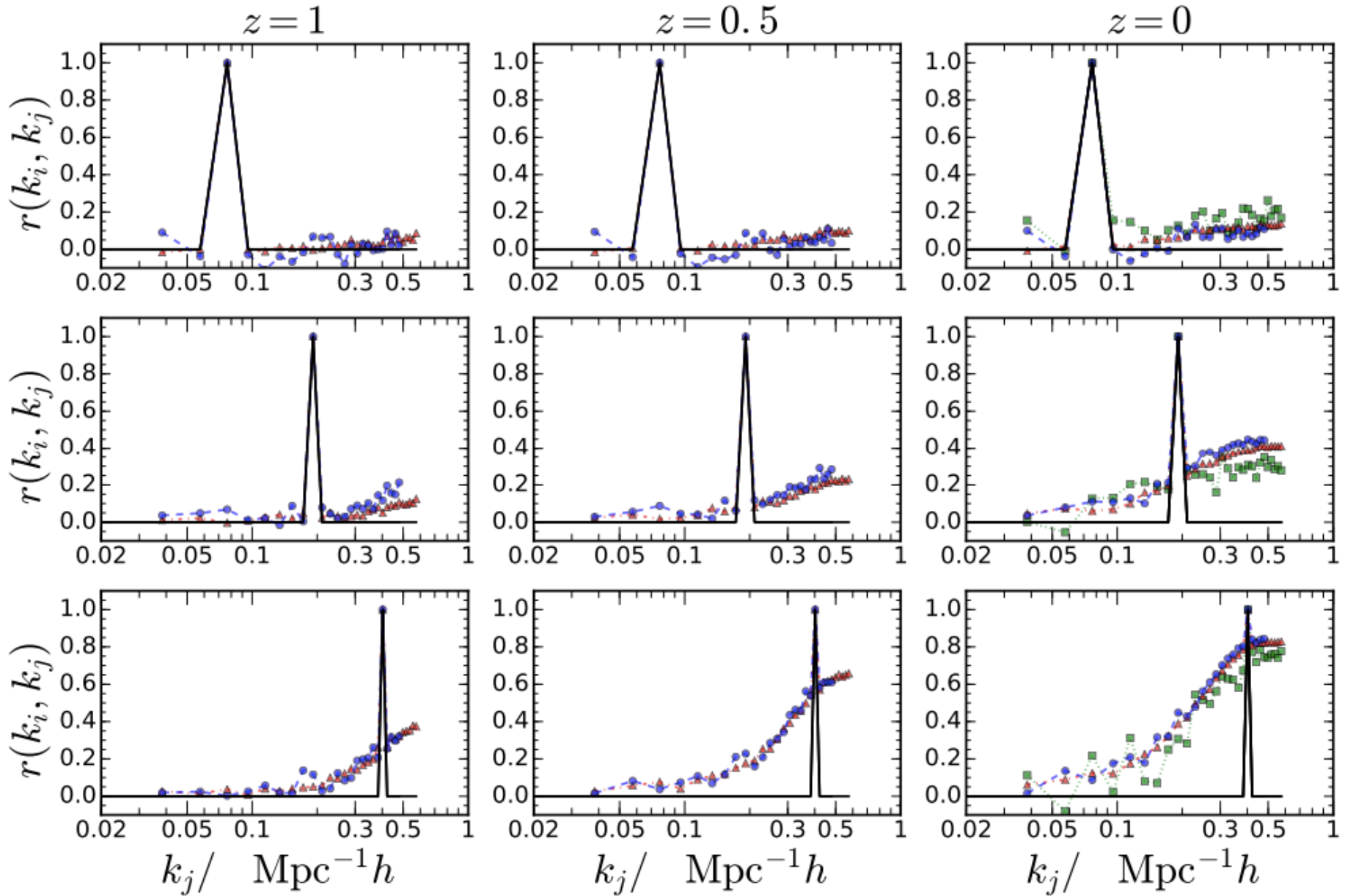
matter,
in real space



equilateral triangle

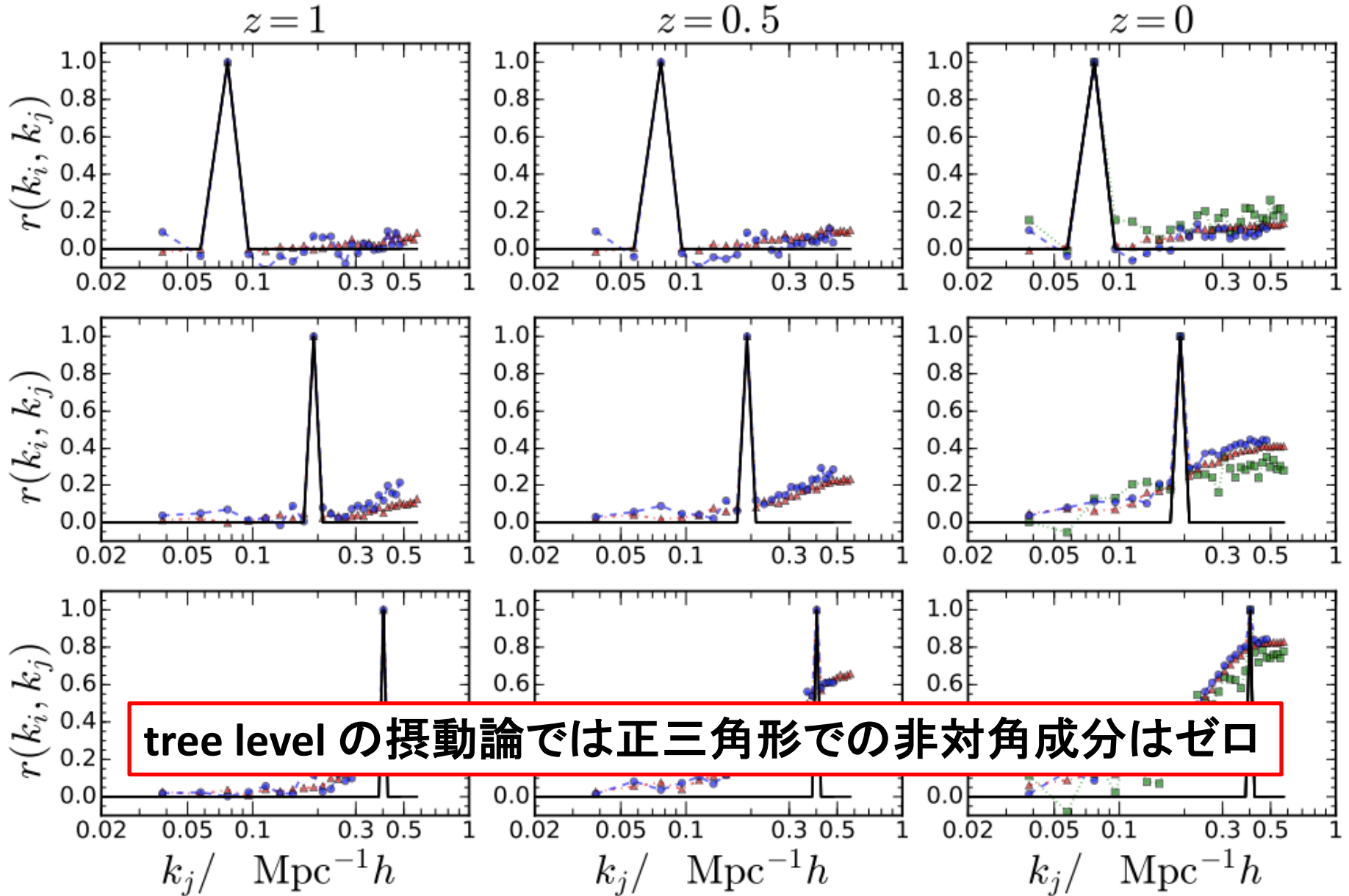
同じく covariance の非対角成分

correlation matrix



同じく covariance の非対角成分

correlation matrix



power spectrum, bispectrum 測定の S/N

$k < k_{\max}$ までの cumulative S/N

S/N for power spectrum

$$\left(\frac{S}{N}\right)^2 = \sum_{k_1, k_2 \leq k_{\max}} \text{Cov}_P^{-1}(k_1, k_2) P(k_1) P(k_2)$$

covariance の逆行列

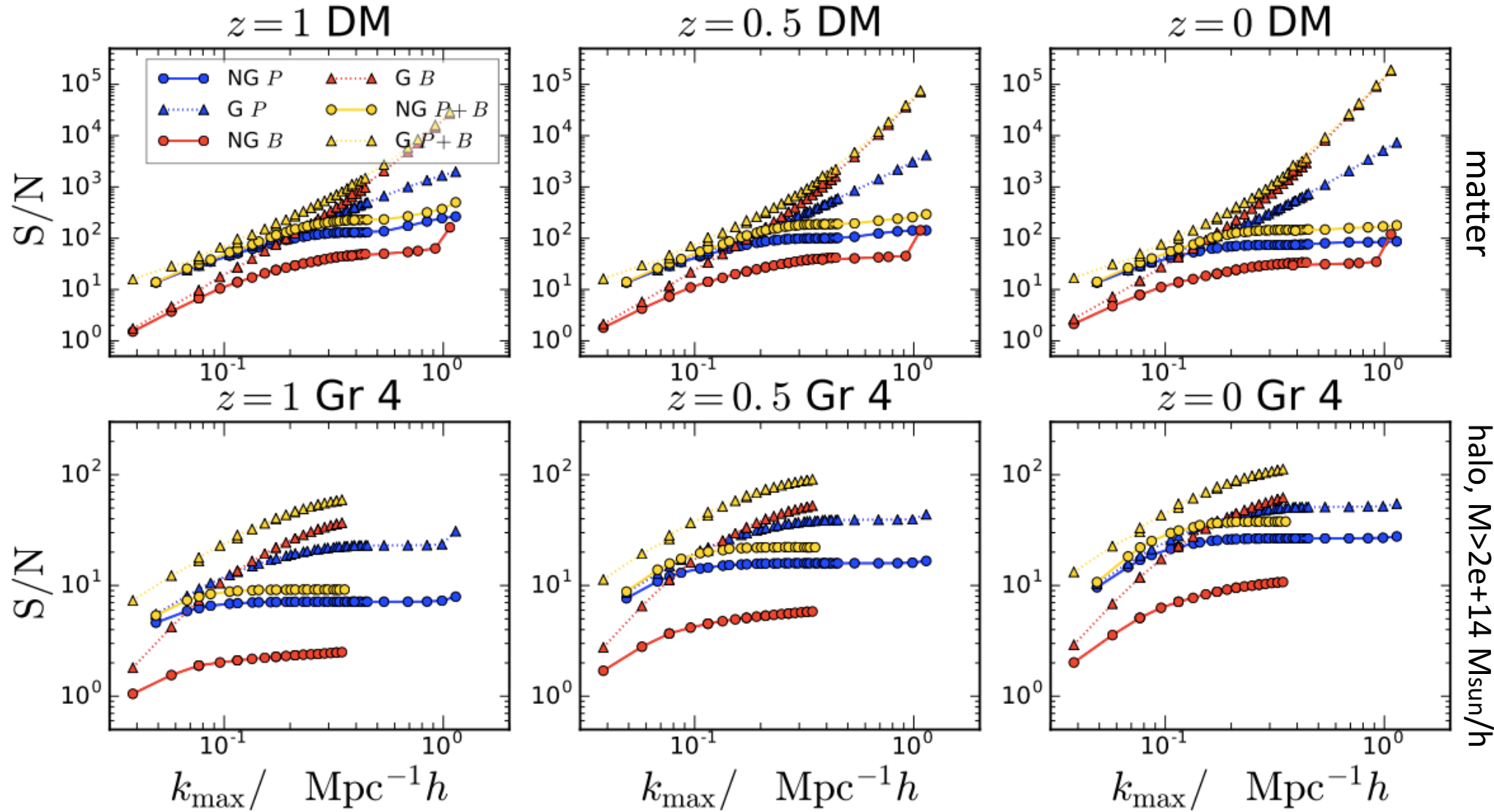
S/N for bispectrum

$$\left(\frac{S}{N}\right)^2 = \sum_{k_1, k_2, k'_1, k'_2 \leq k_{\max}} \sum_{\theta, \theta'} \text{Cov}_B^{-1}(k_1, k_2, \theta, k'_1, k'_2, \theta') B(k_1, k_2, \theta) B(k'_1, k'_2, \theta')$$

S/N for power spectrum & bispectrum

青 : power spectrum 赤 : bispectrum 黄 : power spectrum + bispectrum

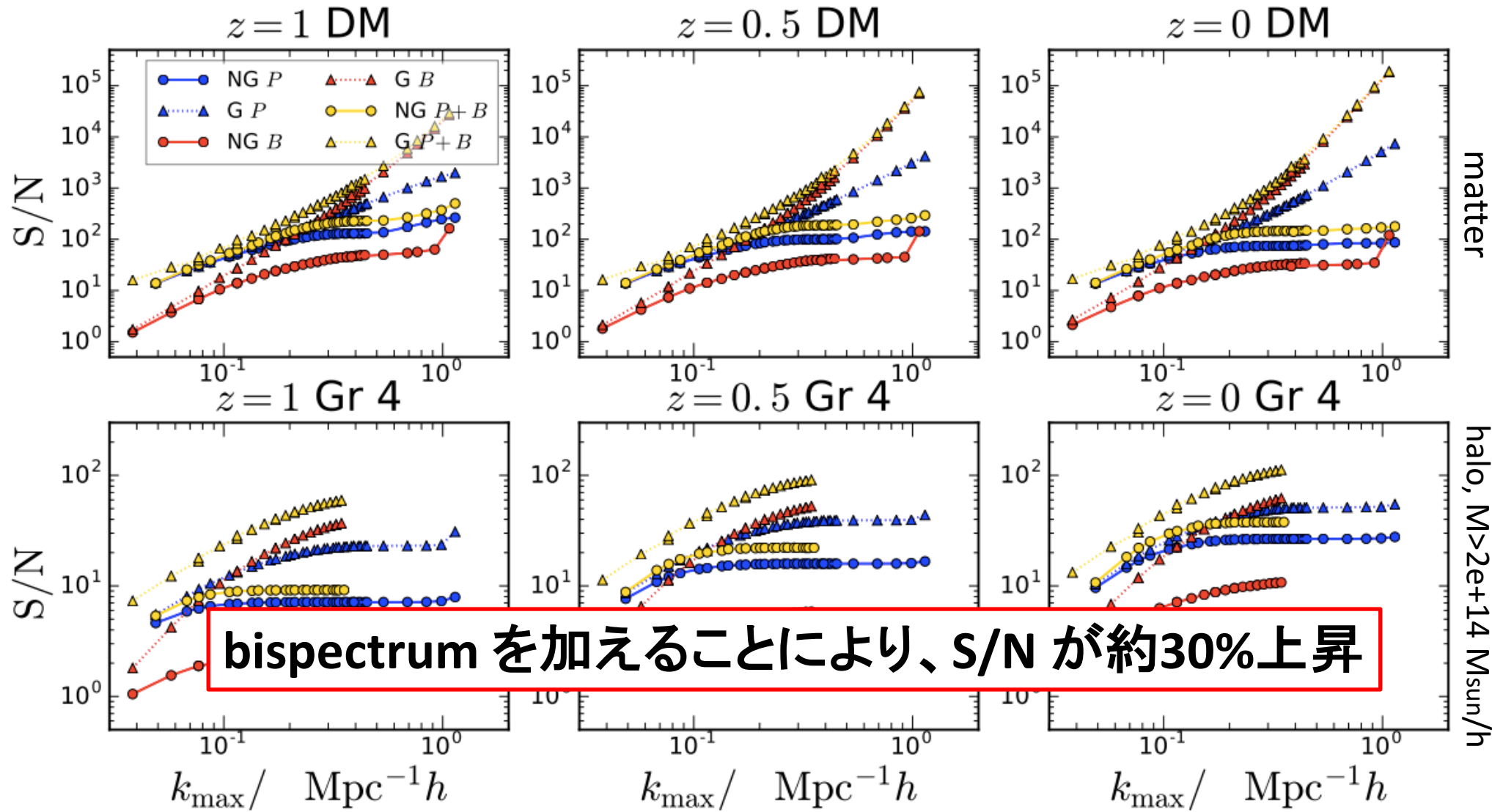
● : Gaussian + non-Gaussian terms ▲ : Gaussian term only



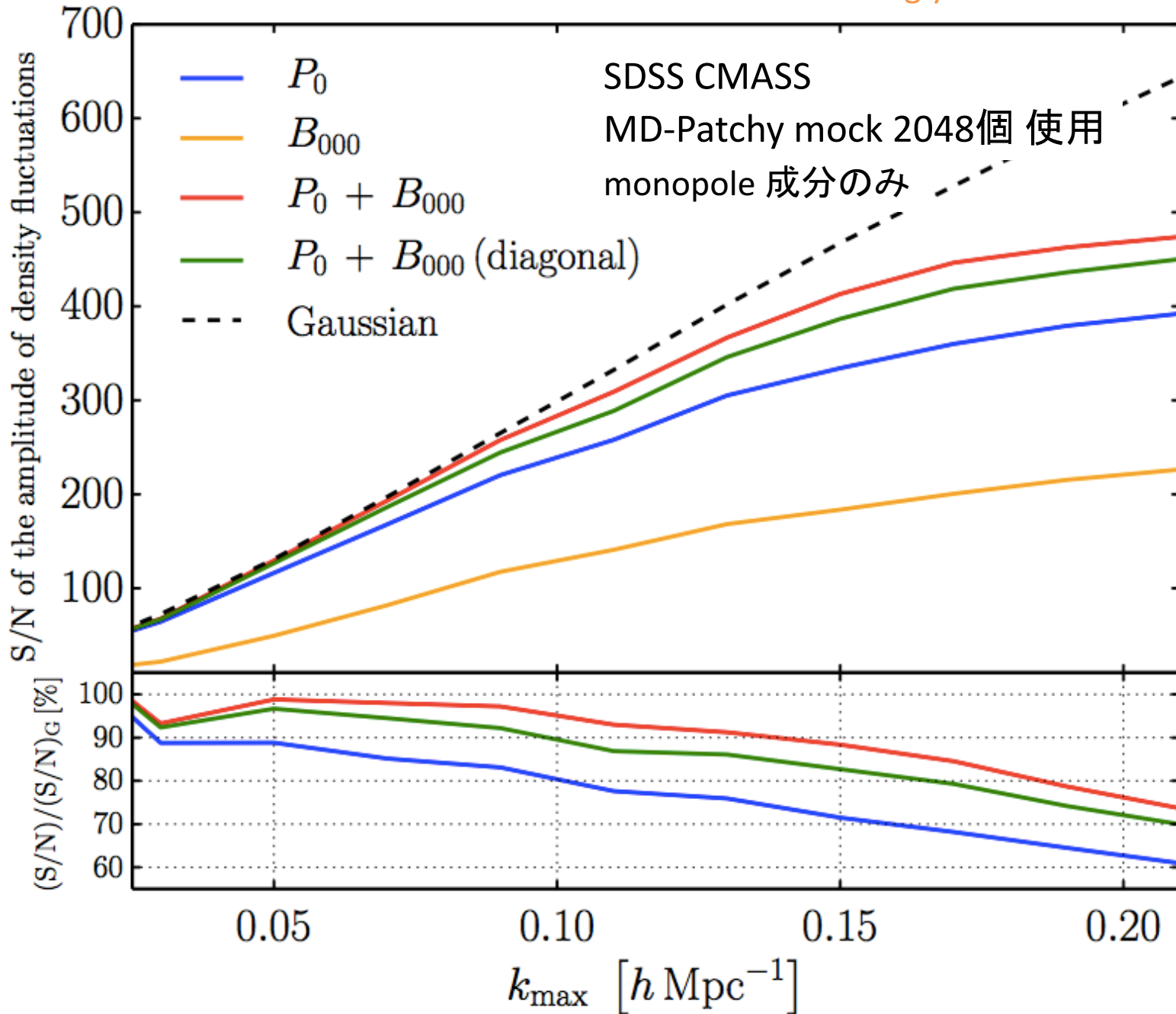
S/N for power spectrum & bispectrum

青 : power spectrum 赤 : bispectrum 黄 : power spectrum + bispectrum

● : Gaussian + non-Gaussian terms ▲ : Gaussian term only



(Sugiyama+ 2018)



Previous work 2 : Chan, Dizgah & Norena (2017)

先程の Chan & Blot (2017) の続き

super-sample covariance も含む

bispectrum response to background density も導出

matter & halo fields in real space

N体計算でコバリアンスを測定

perturbation theory & halo model と比較

their simulation setting

small box : L=656.25Mpc/h with 256^3 particles \times 4096 realizations
(w/o super survey mode)

gigantic box : L=21Gpc/h with 8192^3 particles

 small box (L=656.25Mpc/h) を $32768 (=32^3)$ 取り出す
(w/ super survey mode)

Small : small box 使用

Subbox : large box から一部を切り出した subbox 使用

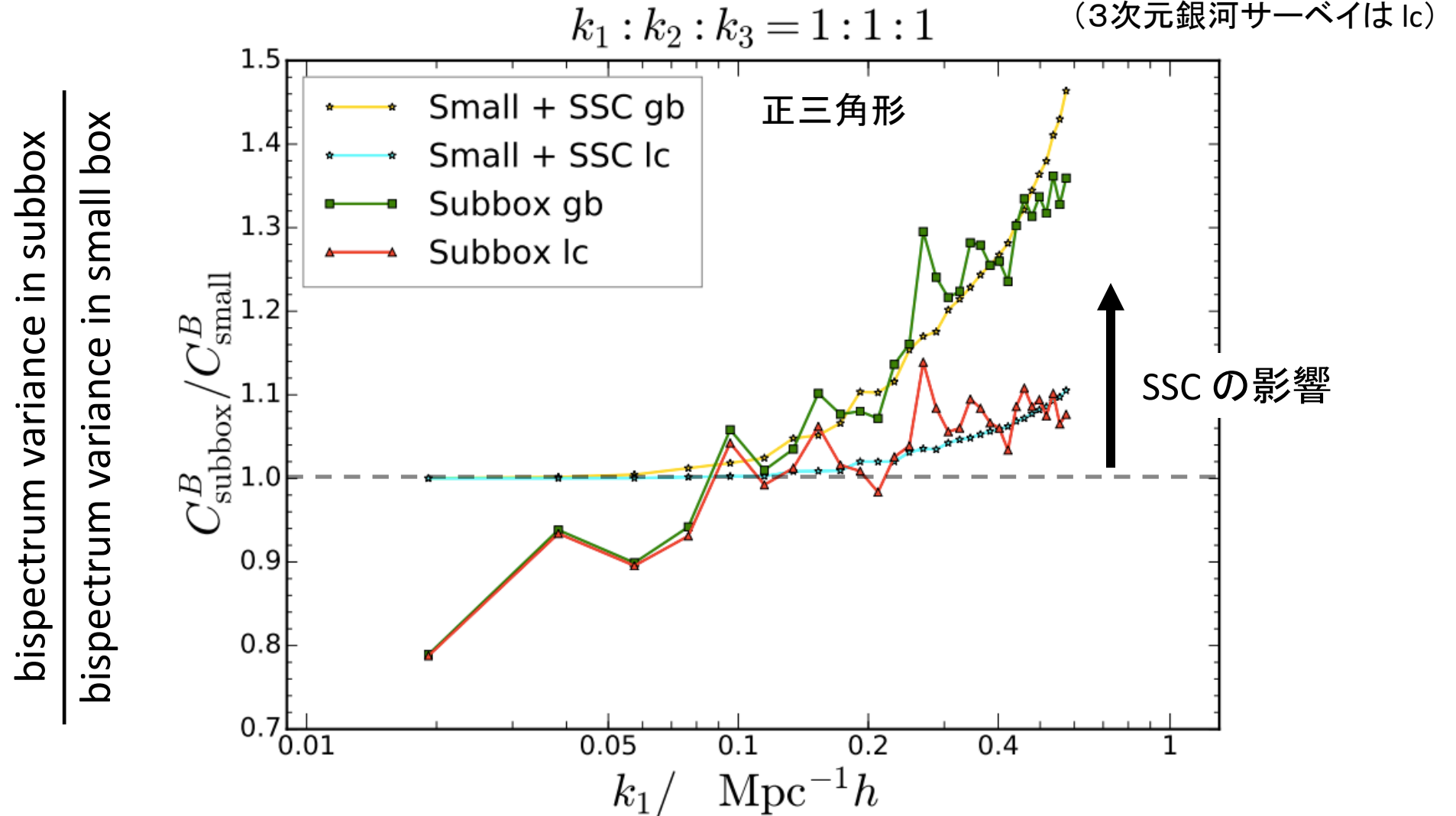
SSC : super-sample covariance の寄与 (halo model使用)

$$\delta(\vec{r}) = \frac{\rho(\vec{r})}{\bar{\rho}} - 1$$

gb : global mean density 使用

lc : local mean density 使用

(3次元銀河サーベイは lc)



Small : small box 使用

Subbox : large box から一部を切り出した subbox 使用

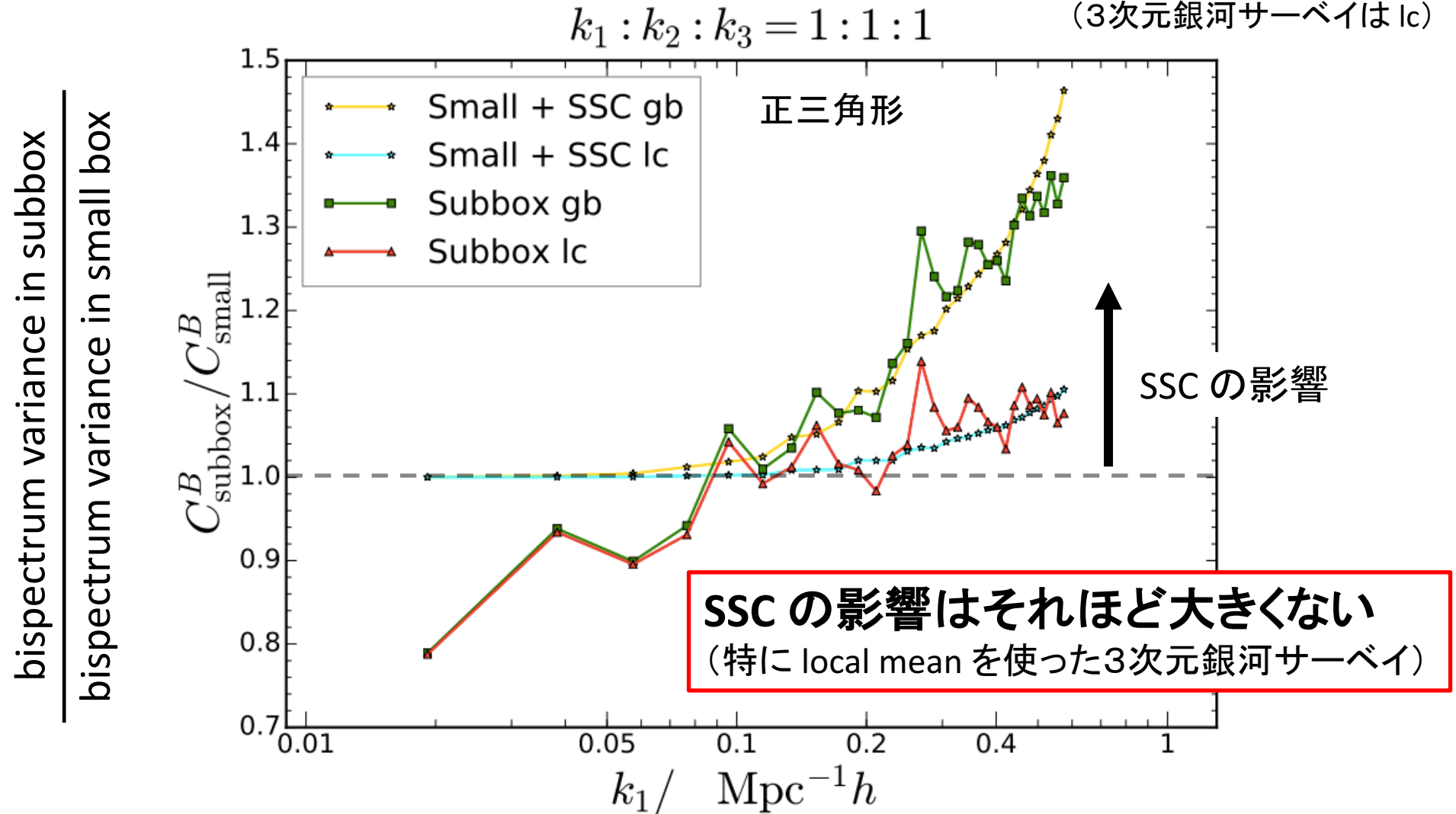
SSC : super-sample covariance の寄与 (halo model使用)

$$\delta(\vec{r}) = \frac{\rho(\vec{r})}{\bar{\rho}} - 1$$

gb : global mean density 使用

lc : local mean density 使用

(3次元銀河サーベイは lc)



我々の研究目的

多数(数千以上)のN体計算を実行し、matter & halo bispectrum の covariance を求める

摂動論(by 樽家さん)と比較して covariance のモデル化

3次元の銀河分光サーベイを想定

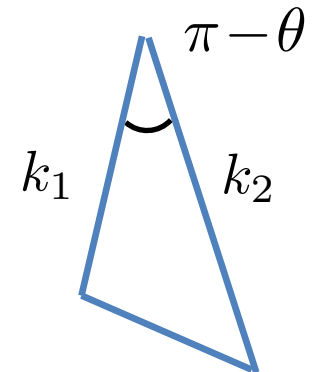
real & redshift spaces 両方

super-sample covariance も考慮

Mock は何 realization 必要か？

bispectrum がガウス分布に従うなら (Hartlap+ 2007)

realization 数 > bispectrum の全ビン数



$B_\ell(k_1, k_2, \theta)$ in redshift space の全ビン数

ℓ : multipole

= k_1 のビン数 \times k_2 のビン数/2 \times θ のビン数 \times multipoleの数

$$= 4050 \left(\frac{k_{\max}}{0.3 h/\text{Mpc}} \right)^2 \left(\frac{\Delta k}{0.02 h/\text{Mpc}} \right)^{-2} \left(\frac{\Delta \theta}{10 \deg} \right)^{-1} \left(\frac{N_\ell}{2} \right)$$

波数の最大値 波数のビン幅 角度のビン幅 multipole の数
monopole &
quadrupole

● N-body simulation set

Dark matter only, Gadget2(N-body code) + Rockstar(halo finder)

two kinds of simulations prepared to see super-survey covariance

<u>Small box</u>	(preparation done)	w/o super-survey mode
L=500Mpc/h with 512^3 particles		
4000 realizations		
<u>Large box</u>	(plan to start at June @ NAOJ CfCA)	w/ super-survey mode
L=4Gpc/h with 4096^3 particles		
>10 realizations		
512($=8^3$) small boxes taken from a single large box		

Cosmological model : Planck2015

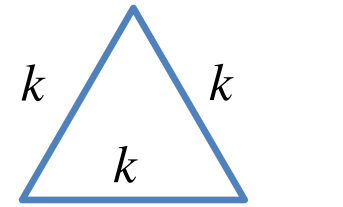
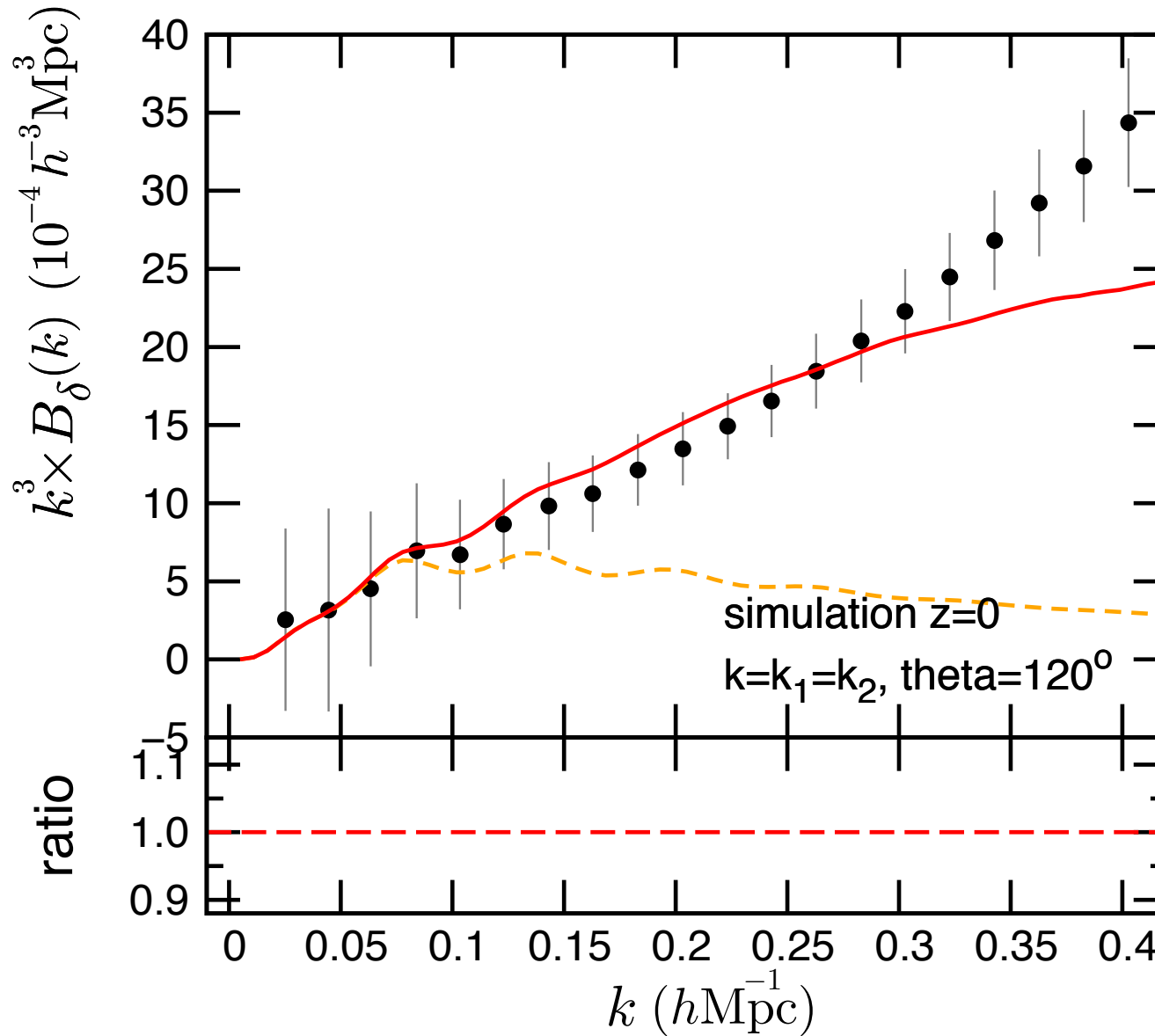
4 output redshifts : z=0, 0.48, 1.03, 1.48



Same as default setting
in Nishimichi+ emulator

matter bispectrum in real space

mean of 240 realizations

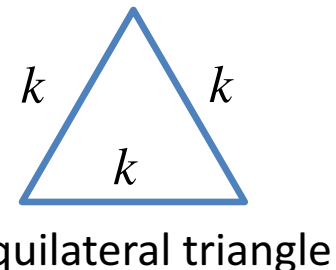
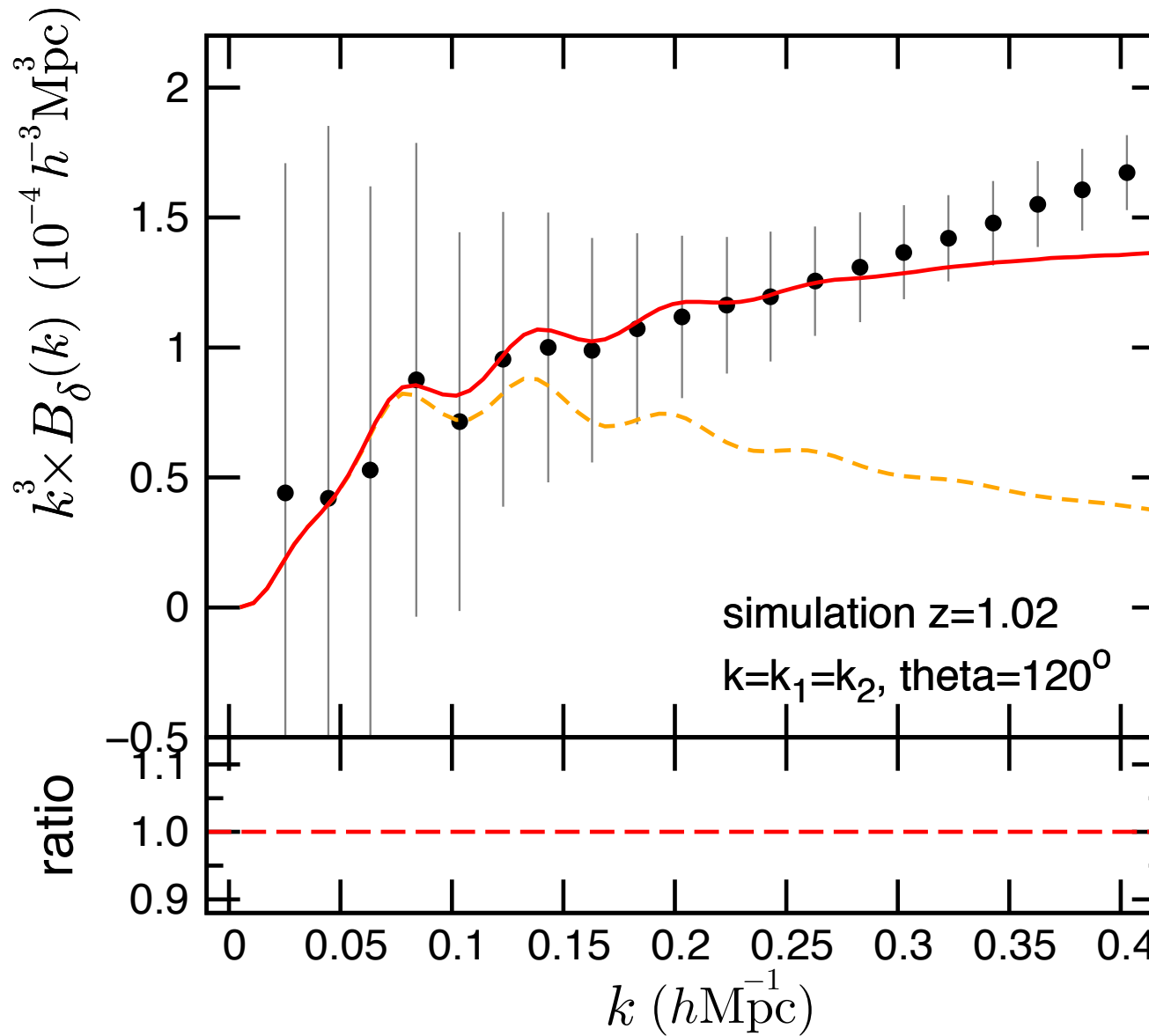


one loop
(Taruya-san)
(Hashimoto+ 2017)

tree level

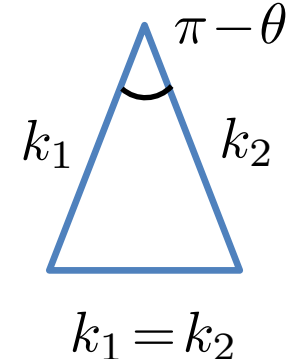
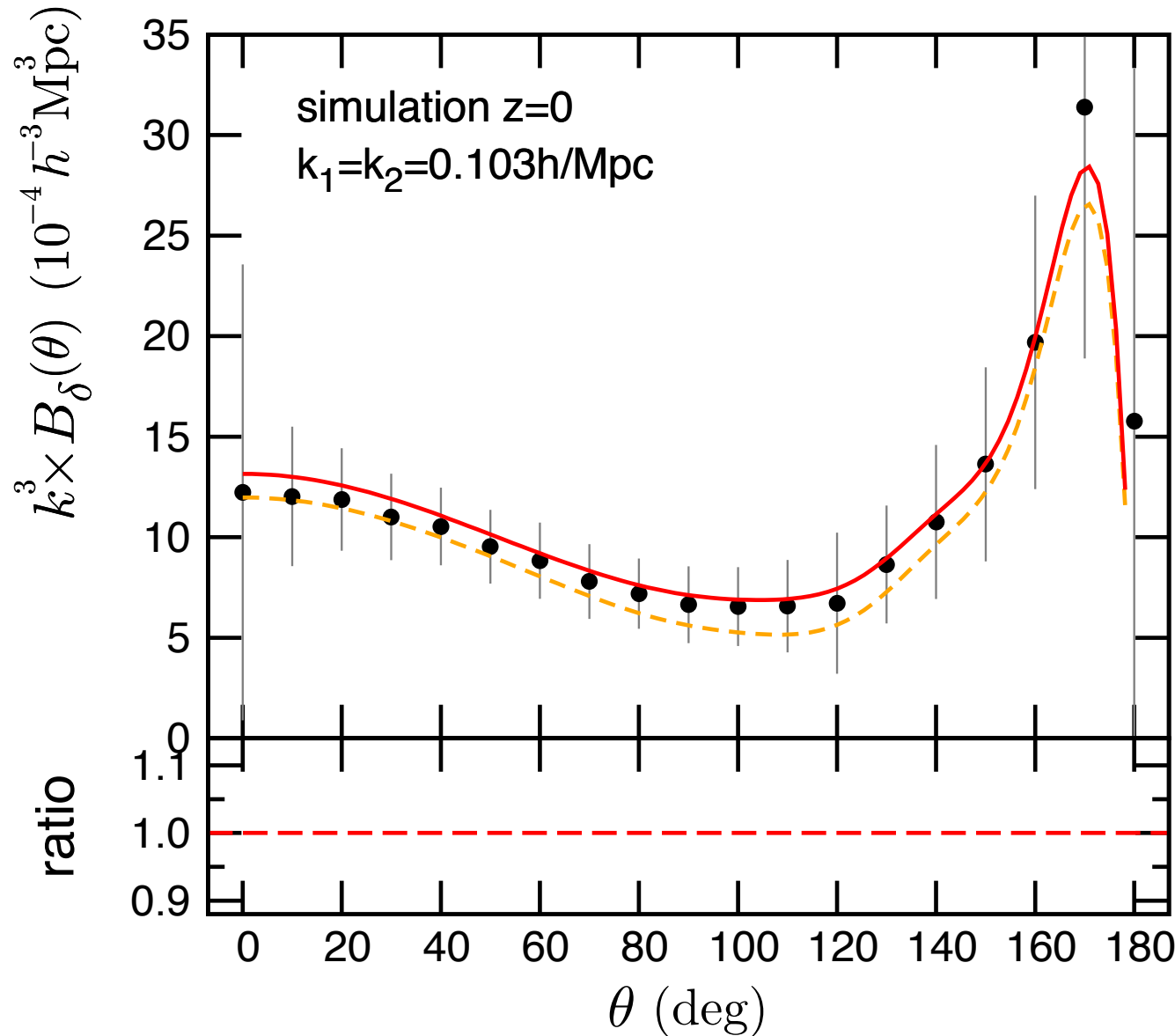
matter bispectrum in real space

mean of 240realizations



matter bispectrum in real space

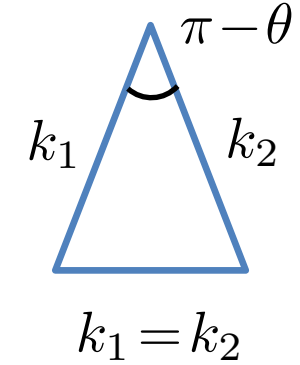
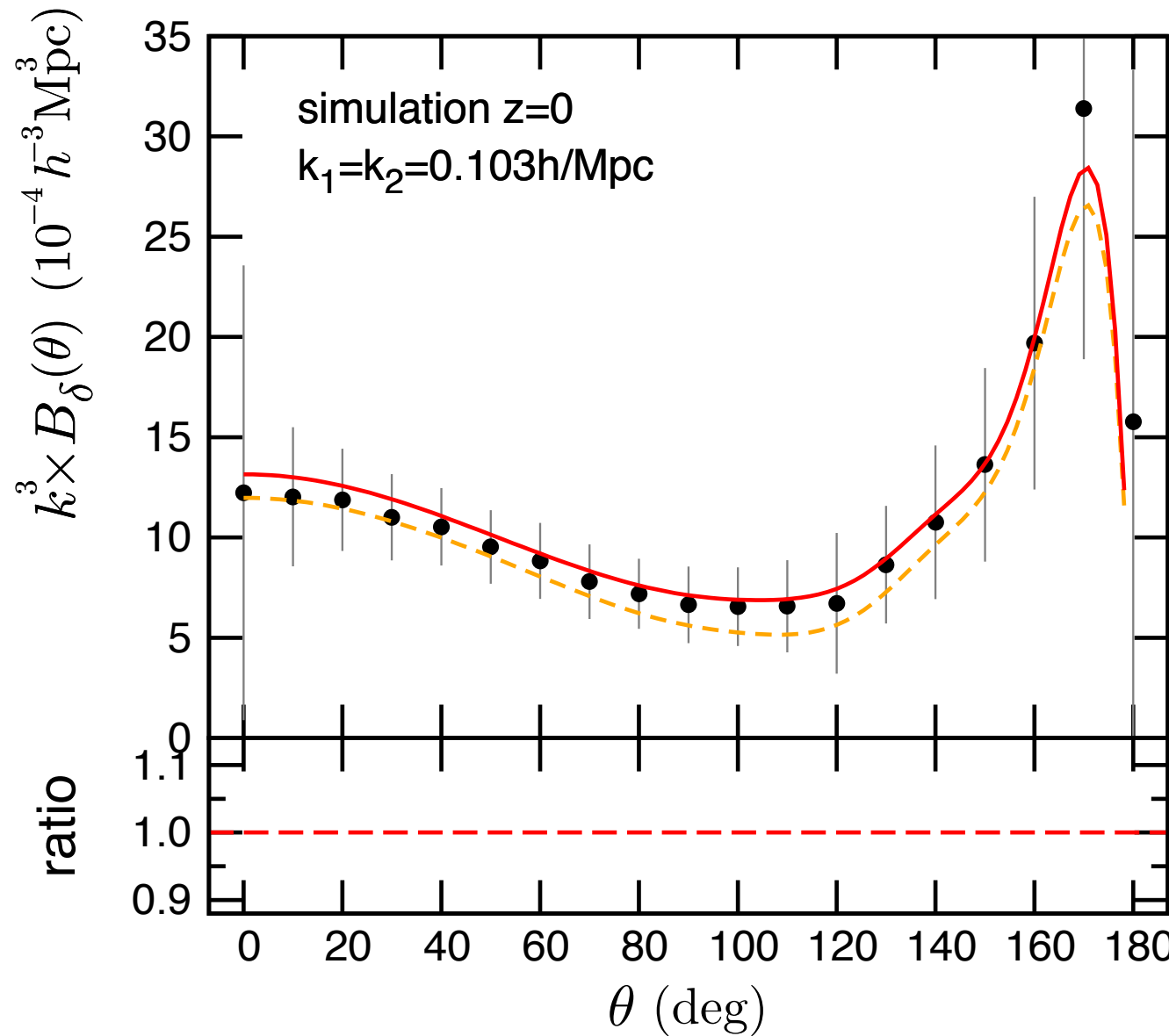
mean of 240realizations



one loop
tree level

matter bispectrum in real space

mean of 240 realizations



power spectrum & bispectrum の covariance の主要な計算法

3次元銀河サーベイ

- ・(簡単な) mock を大量に作る
- ・(単純に)ガウス誤差を仮定
- ・摂動論で covariance を求める(あまり見ない?)

摂動論で求めた covariance に需要があるか知りたい

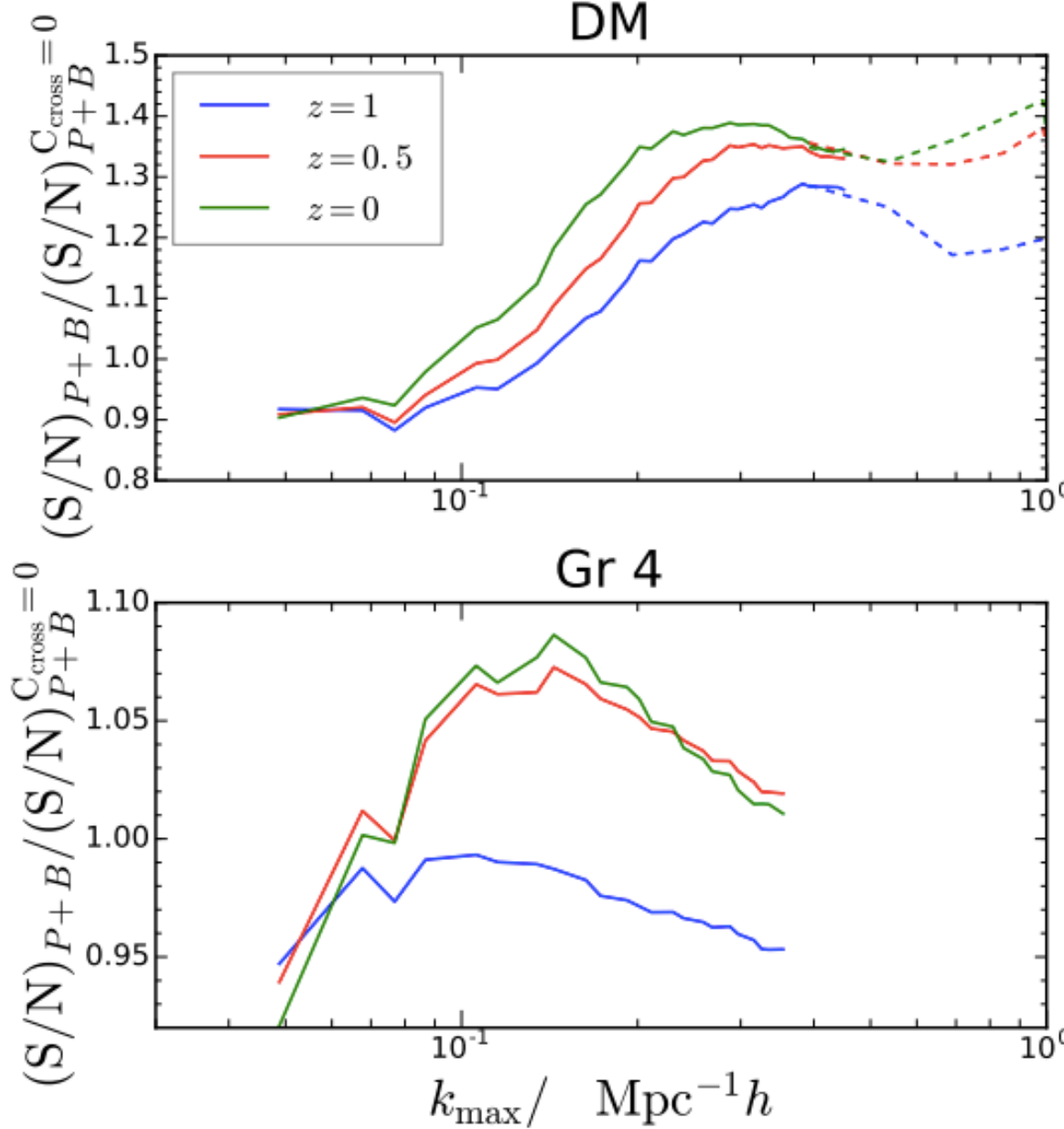
弱い重力レンズサーベイ

- ・mock を大量に作る
- ・halo model
- ・jackknife
- ・N-body sim. から求めた covariance の fitting formula (あまり見ない)

power spectrum + bispectrum の cross covariance の影響

S/N with cross covariance

 S/N without cross covariance



matter
halo, $M > 2 \times 10^{14} M_{\odot} / h$